

## تأثیر فرم هندسی سقف بر پارامترهای آکوستیک سالن موسیقی\*

مهندس سپیده مصطفویانی\*\*، دکتر وحدانه فولادی\*\*\*، دکتر مهتمام شهبازی\*\*\*\*

تاریخ دریافت مقاله: ۱۴۰۳/۰۸/۰۴ تاریخ پذیرش نهایی: ۱۴۰۳/۱۱/۲۷

### پنجه

از زمان اولین تمدن‌ها، موسیقی یک قسمت جدایی‌ناپذیر از زندگی انسان‌ها بوده و به عنوان یک نوع ارتباط میان آنان و حیات محسوب می‌شده. در این مقاله به طراحی و آنالیز آکوستیک معماری در سالن موسیقی با استفاده از نرم‌افزار Odeon شده است. در طراحی داخلی این سالن ۲ طرح معماري صورت گرفته؛ طرح اول سقف سالن به صورت قوس‌دار و طرح دوم، سقف به صورت شکسته‌ایی منظم با احتساب فرکانس‌های صدایی طراحی شده است. پس از طراحی سالن و خروجی گرفتن از نرم‌افزارهای آکوستیکی پارامترها به ترتیب در سقف قوس‌دار و سقف شکستدار به قرار زیر است. زمان واخنش ۱/۶۵ و ۱/۳، انتقال وضوح ۰/۶۶ و ۰/۸۴، پارامتر ۱/۱۵ EDT و ۱/۲، از بین رفتن حروف صدا دار ۱/۳۱ و ۱/۸۶٪، تراز فشار صوتی ۱۰۷/۵ دسیبل و ۱۰۵/۷ دسیبل بوده است. نتیجه گیری می‌توان کرد که سقف دارای شکست در شرایط آکوستیکی بهتر از سقف قوس‌دار می‌باشد.

### واژه‌های کلیدی

طراحی آکوستیکی، نرم افزار ODEON، آکوستیک معماری، سالن موسیقی.

\* این مقاله برگرفته از رساله دکتری سپیده مصطفویانی با عنوان: «بهینه‌سازی قابلیت فهم صدا در فضاهای شنیداری در سالن‌های موسیقی» است که با راهنمایی دکتر وحدانه فولادی و مشاوره دکتر مهتمام شهبازی در دانشگاه آزاد اسلامی واحد بین‌الملل قشم در حال انجام است.

\*\* دانشجوی دکتری تخصصی، گروه معماری، واحد بین‌الملل قشم، دانشگاه آزاد اسلامی، قشم، ایران.

Email: Sepideh.Mostafaie1985@gmail.com

\*\*\* استادیار، گروه معماری، واحد علوم و تحقیقات، دانشگاه آزاد اسلامی، تهران، ایران (مسئول مکاتبات).

Email: V.Fooladi@ymail.com

\*\*\*\* استادیار، گروه معماری، واحد علوم و تحقیقات، دانشگاه آزاد اسلامی، تهران، ایران.

Email: M-Shahbazi@srbiau.sc.ir

## ۱- مقدمه

در واقع طراحی معماری می‌تواند بر مطلوبیت صوتی فضا تاثیر بسزایی داشته باشد و تنها به تاثیر آکوستیک منتهی نشود. استفاده از اشکال مقرنس برای آکوستیک هندسی صدا بر کیفیت فضایی، و طراحی آکوستیکی بر تاثیر فضا بر احساس مخاطب موثر است. یعنی می‌توان به این موضوع دست یافت که طراحی فرم بر گسترش صدا همراه با آکوستیک در محیط تأثیرگذار است (قیابکلو، ۱۳۹۱).

برای دستیابی به فضایی با آکوستیک ایده‌آل تلاش‌های بسیاری شده است. فرم‌های بسیاری مورد ارزیابی قرار گرفته‌اند که از آن جمله می‌توان به فرم‌های معماری تالارهایی که در قرن ۱۹ بنا گردید، اشاره داشت. فرم این تالارها عموماً مستطیل شکل، با دیوارهای متوازی، سقف مسطح و افقی بوده‌اند و کمتر دیده شده است که از فرم دور برای طراحی استفاده شود، چرا که یک سالن آکوستیک دارای تعداد معینی از انعکاست طبیعی باشد مساوی می‌باشد که در تمام جهات پخش می‌گردد. بدین منظور، تحقیقات و مطالعات گسترده‌ای جهت شناخت و تعیین پارامترهای موثر بر چگونگی آکوستیک سالن‌های کنسرت از نظر ذهنی و عینی صورت گرفته و یا در حال تحقیق می‌باشد. ایجاد وضوح صوتی در فضاهای از اهمیت بالایی برخوردار است، به‌گونه‌ای که ارتباط مستقیمی با ترازو نوشه زمینه<sup>۱</sup> و زمان واخنش<sup>۲</sup> آن وجود دارد. علاوه بر این نه تنها نوشه (واخنش) قابلیت فهم گفتار را کاهش می‌دهد، بلکه عموماً همه سیگنال‌های خارجی با تغییرات سیگنالی که در مسیر منبع صوتی تا دریافت‌کننده اتفاق می‌افتد، نیز می‌تواند باعث کاهش قابلیت فهم صوت شوند (قیابکلو، ۱۳۹۳).

**سخنداو و همکاران (۱۳۹۷)** تاثیر مواد جاذب و فرم‌های معماری در یک مرکز آموزشگاهی هنرستانی را مورد بررسی قرار دادند. آنها سقف را تأثیرگذارترین بخش ساختمان در پارامترهای آکوستیکی اثاق ذکر کردند. همچنین تاثیر مکان جاذب‌های صوتی را با استفاده از نرم‌افزار آکوستیکی مورد مطالعه قرار دادند که بیشترین میزان جذب در سقف و کمترین آن در کف بوده است.

**میرزابالو و همکاران (۱۴۰۲)** مطالعات میدانی در زمینه شرایط آکوستیکی در کتابخانه شهر تبریز داشته‌اند. آنها دریافتند که المان‌های معماری مانند کاواک و حفره باعث افزایش جذب صدا در فضای شده و میزان استفاده از مواد جاذب صدا را پایین خواهد آورد.

**فیضی و همکاران (۱۳۹۶)** عوامل مختلف بر روی شرایط آکوستیکی کتابخانه را بررسی کردند که استفاده از فرم هندسی مربع در فضای را جهت تمرکز بیشتر حواس و داشتن آرامش و سکوت در کتابخانه پیشنهاد دادند.

صوت در فضایی که به خوبی طراحی شده است، ضمن تقویت عملکرد فضای مذکور، موجب رضایت ساکنان آن نیز می‌گردد. یک محیط آکوستیکی که بد و ضعیف طراحی شده باشد، موانعی را در برابر کارکرد خود به وجود می‌آورد و موجب بی‌علاقگی افراد برای حضور در آنجا شده و حتماً به سلامت آنان نیز آسیب می‌رساند. علم آکوستیکی یکی از شاخه‌های علم فیزیک است که به تولید، کنترل و نظارت، انتقال، دریافت و اثرات صوت می‌پردازد. طرح آکوستیکی عبارت است از برنامه‌ریزی، شکل دهی و آراستن فضاهای بسته که به منظور استقرار یک محیط‌زیست آکوستیکی انجام می‌شود. البته این محیط آکوستیکی باید صدای ناشی از گفتگو و یا اصوات ناشی از الات موسیقی را از یکدیگر تمایز نماید. فهم این مطلب که ما چگونه صوت را می‌شنویم و این که چگونه صوت با محیطی که آن را ساخته‌ایم تعامل می‌کند، می‌تواند به ما کمک کند تا فضاهایی را طراحی کنیم که همان اندازه که از نظر آکوستیکی خوشایند هستند از لحاظ بصری نیز آن غنای لازم را داشته باشند. پژوهش حاضر که در راستای آکوستیک-معماری صورت گرفته وضوح صدا را به عنوان مهم‌ترین پارامتر آکوستیکی در یک سالن موسیقی قرار داده است. در کشور ایران در سال‌های گذشته سالن‌های زیادی تجهیز و بهره‌برداری شده است که متأسفانه بیشتر این سالن‌ها از لحاظ آکوستیکی ضعف‌های زیادی دارند. از طرفی سالن‌هایی که تلاش برای بهبود شرایط آکوستیکی در آنها شده است به دلایل ضعف در مسائیل زیباشناختی متریال‌های آکوستیک، از جلوه خاص و معماری داخلی مناسبی برخوردار نیستند. به همین دلیل در این پژوهش سعی بر طراحی و آنالیز یک سالن موسیقی شده است که با استفاده از فرم‌های هندسی مناسب با فرکانس‌های آکوستیکی در سطوح مختلف سالن شرایط آکوستیکی و شنیداری صدای سالن بهبود پیدا کند.

## ۲- پیشینه پژوهش

به طور کلی تاریخ شکل گیری و طراحی آکوستیک در معماری را می‌توان به ساخت تئاترهای یونان باستان و سپس رُم باستان نسبت داد. از ابتدای قرن ۱۹ روی آوری به آکوستیک به عنوان یک علم به وجود آمد و در پی آن مقالات، کتاب‌ها و مجلات متنوعی در مورد تکنیک‌های آکوستیک منتشر شد. در اوخر قرن ۱۹ و اوایل قرن ۲۰، معماری آکوستیک به عنوان یک رشته علمی توسط فیزیکدان و استاد جوانی از هاروارد به نام ویلیام سایبن پایه‌گذاری گردید. وی توانست اولین تئوری جذب صدا در مواد، رابطه آن با میرایی صوت در فضای فرمولی برای میرایی یا همان زمان واخنش ابداع کند (Rossing, 2010).

**کاپرولی (۲۰۲۱)** تاثیر پارامترهای هندسی را روی سالن‌های همایش با پلان گرد موردن بررسی قرار داد. به این نتیجه رسید که به علت شرایط سخت آکوستیک و مشکلات زیاد صدا بر روی سالن‌های گرد، بهترین گزینه ایجاد دیفیوزرهای به موازات شعاع دایره از سمت مرکز سالن به سمت دیوارهای می‌باشد. همچنین به این نتیجه رسید که ایجاد فضای خالی به صورت هندسه مثلث عملکرد بهتری دارد (Cairoli, 2021).

**بلاسچاک و همکاران (۲۰۲۱)** نحوه توزیع میدان صدا بر روی معابد را بررسی کرد. او به این نتیجه رسید که حتی با وجود متريالی غیر جاذب صدا مانند سنگ با استفاده از ایجاد یک هندسه مناسب می‌توان تا حدودی کیفیت و وضع صدا را بهتر کرد. همچنین با استفاده از تحقیقات میدانی متوجه شدند که با ایجاد کنده‌کاری‌های ریز بر روی سنگ‌ها می‌توان از رفلکت مستقیم صدا جلوگیری کرد (Blaszcak et al., 2021).

#### مبانی نظری

به منظور طراحی آکوستیکی انواع سالن‌های موسیقی، پارامترهایی وجود دارد که باید طبق استانداردهای بین‌المللی باشد. مهم‌ترین پارامترهای آکوستیکی در طراحی و تحلیل آکوستیکی سالن، نوشه زمینه (BN)، زمان واخنش (RT)، قابلیت فهم کلام (STI) و تراز فشار صوتی (SPL) می‌باشد.

#### نوشه زمینه

نوشه عبارت است از هرگونه انرژی ناخواسته، نامطلوب و مزاحمی که در نقاط مختلف مسیر انتقال صوت قرار گرفته باشد. حداکثر تراز نوشه زمینه در سالن‌های موسیقی با توجه به آیین‌نامه مقررات ملی مبحث هجدهم باید ۳۵ دسیبل باشد. به جهت رسیدن به این مقدار از صدای نوشه باید بحث عایق‌بندی جدارهای به صورت استاندارد اجرا شود.

#### زمان واخنش

با توجه به آیین‌نامه مقررات ملی مبحث هجدهم وزارت ساختمان و مسکن و استاندارهای بین‌المللی در این زمینه، زمان واخنش (Reverberation Time) سالن‌های موسیقی باید بین ۰/۸ تا ۲/۳ ثانیه باشد. اختلاف این اعداد بسته به حجم سالن می‌باشد که با توجه به حجم سالن طراحی شده در این مقاله، این معیار باید تقریباً ۱/۷ ثانیه باشد. البته این مقدار متوسط در تمامی فرکانس‌های صوتی بوده و باید توجه کرد که این مقدار در فرکانس‌های زیر ۴۰۰ هرتز نیز کنترل شود (شکل ۱).

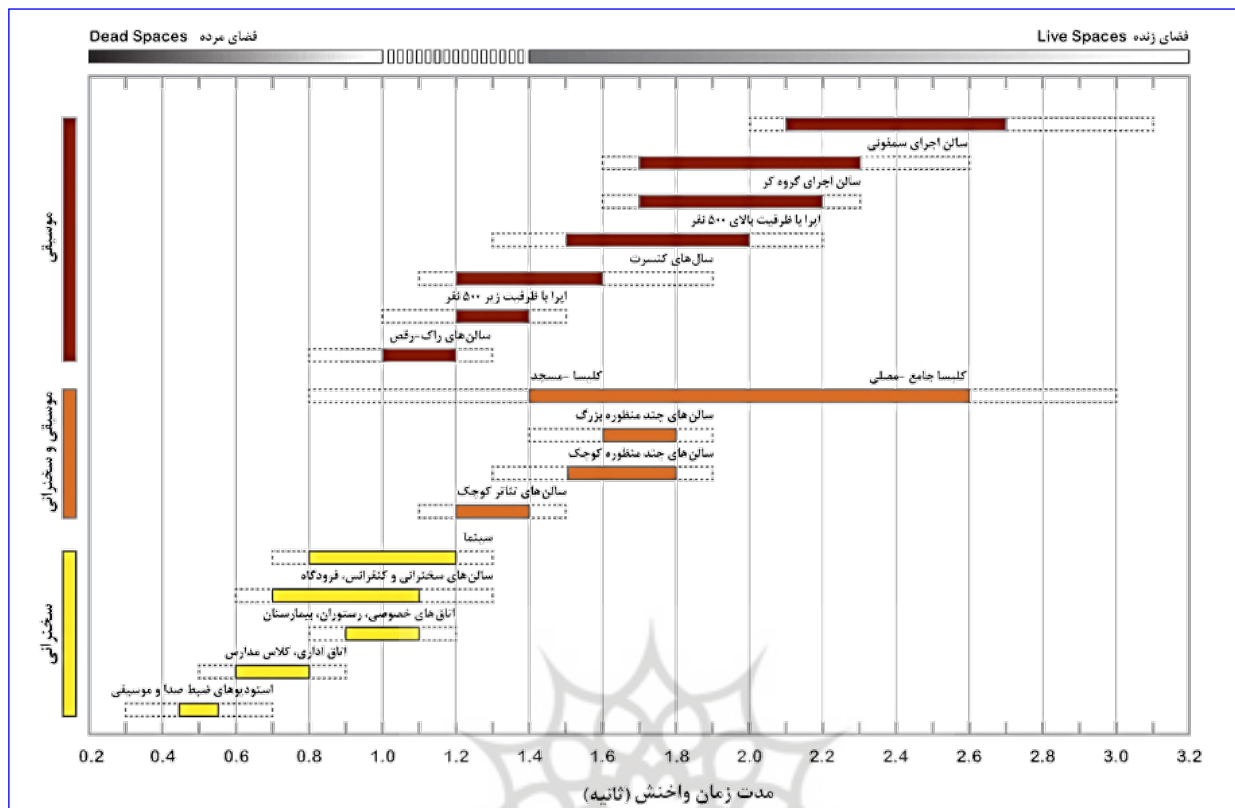
**قلیزاده و همکاران (۱۴۰۰)** دریافتند که نمونه عناصر ساختاری مشترک همچون قوس‌ها، جدارهای برآمده، گوششسازی‌ها، ترئیناتی همچون کاربندی، سطح ستون‌ها با پخش و پراکنش صدا سبب ایجاد بازخورددهای آکوستیکی مناسب می‌شوند. همچنین آنها دریافتند که وجود خاک در آجر به دلیل جاذب صوت بودن باعث کاهش زمان واخنش و افزایش کیفیت صدا می‌شوند.

**غفاری (۱۳۹۲)** به این نتیجه رسید که ایجاد هندسه‌های متفاوت با استفاده از آجر تاثیر زیادی در کاهش زمان واخنش و بالارفت ووضوح گفتار در یک فضا می‌شود.

**بروتی و همکاران (۲۰۲۲)** تاثیر متریال‌های جاذب حفره‌دار را بر سقف سالن چند منظوره در پروجای<sup>۳</sup> در ایتالیا محاسبه کردند و متوجه شدند که بیشتر از نوع جاذب بودن متریال در سقف یک سالن، هندسه سقف در معماری داخلی تاثیر بسزایی در پارامترهای آکوستیکی به ویژه مدت زمان واخنش صدا دارد (Buratti et al., 2022).

**پیزتگ ژو و همکاران (۲۰۲۰)** شاخص انتقال وضوح صدا<sup>۴</sup> در سالن‌های چند منظوره چند ضلعی را مورد بررسی قرار دادند که به اهمیت زیاد هندسه معماري سالن در پارامتر شاخص انتقال وضوح صدا (STI) در سالن رسیدند، همچنین آنها به تاثیر متناسب بودن ابعاد المان‌های معماري با فرکانس‌های آکوستيكي سالن شدند (zhu et al., 2020). در یک اتاق ثابت سطوح مختلف هندسي را بر روی دیوارهای اتاق جانماني کردن و برای هر یک از انواع هندسه سطوح اندازه‌گيري زمان واخنش را انجام دادند. آنها به اين نتیجه رسيدند که سطوح مختلف در شرایط آکوستيكي اتاق نقش زیادي داشته و با استفاده از سطوح مناسب و طراحی شده می‌توان شرایط آکوستيكي اتاق را بهبود داد. همچنین آنها نتیجه گرفتند که متریال‌های جاذب صدا نیز در شرایط چیدمان معماري داخلی متفاوت عملکردهای متفاوتی دارند (shtrepi et al., 2019).

**مرلی و همکاران (۲۰۲۰)** با استفاده از المان‌های معماري پرتايل در سقف و دیوارهای یک سالن کليسا توансنتند از لحاظ آکوستيكي شرایط را برای برگزاری مراسم موسيقى فراهم کنند. آنها به اين نتیجه رسيدند که حتی در فضاهايي که از متریال‌های آکوستيكي زيادي استفاده نشده است می‌توان با استفاده از اشكال هندسي متناسب در معماری شرایط پخش فرکانس‌های صوتی را به گونه‌اي تغيير داد که شرایط شنيداری حضار مطلوب گردد (Merli & Bevilacqua, 2020). از بهترین نمونه تالارهای قرن ۱۹ می‌توان به تالار موزيك فراين سن آندریوزهال، اشتارت كازينوگه و اندھائوس اشاره کرد. همچنین با توجه به مشخصات تالارهای معروف جهان می‌توان دستورالعمل هاي را جهت طراحی تالارهای کنسرت در نظر گرفت که تأثیر مستقيمي نيز بر روی آکوستيک دارند (Reinten et al., 2017).



شکل ۱. شماتیک استاندارد مدت زمان واخشن در فضاهای مختلف

Figure 1. Standard schematic of reverberation Time in different spaces

قابلیت فهم کلام (Speech Transmission Index) که به اختصار STI نامیده می‌شود.

این شاخص رابطه مستقیمی با زمان واخشن (RT) در سالن دارد. این شاخص از ۰ تا ۱ سنجیده می‌شود که میزان ۰ غیر قابل قبول بوده و میزان ۱ عالی می‌باشد. این شاخص در جدول ۱ آورده شده است.

جدول ۱. ساختار STI  
Table 1. SIT Index

| کیفیت صدا     | STI         |
|---------------|-------------|
| عالی          | ۱ - ۰/۷۵    |
| خوب           | ۰/۷۵ - ۰/۶۰ |
| ضعیف          | ۰/۶۰ - ۰/۴۵ |
| بد            | ۰/۴۵ - ۰/۳۰ |
| غیر قابل قبول | ۰/۳۰ - ۰    |

میزان تقریبی SPL در یک سالن موسیقی چند منظوره با ظرفیت ۱۰۰۰ نفر باید بین ۱۰۰ تا ۱۱۰ دسیبل باشد.

### نرم افزار اوئدون (Odeon)

در زمینه آکوستیک که یکی از شاخه‌های علم فیزیک محسوب می‌شود، تعداد کمی نرم افزار به طراحان و تحلیل‌گران این امکان را می‌دهد که با ضرب اطمینان بالا محاسبات آکوستیکی را انجام داده و با تکیه بر تحلیل‌های این نرم افزار کارهای اجرایی را انجام بدنهن. به جرات می‌توان

در تحلیل‌های آکوستیک، پارامتری وجود دارد به نام (Intelligibility) که با قابلیت فهم گفتار شناخته می‌شود. در این پارامتر آکوستیکی شاخصی وجود دارد به نام شاخص انتقال وضوح گفتار

با افزایش حجم یک سالن، برای انتقال صدا به استفاده از سیستم‌های الکترونیکی (بلندگو) نیاز پیدا خواهیم کرد. تراز فشار صوتی یک فضاء

میزان بلندی صدا را بیان می‌کند. این شاخص با SPL یا Sound Pressure Level (SPL) شناخته می‌شود. یکنواخت بودن میزان SPL در کل سالن یکی از مسائل مهم در طراحی سالن‌های موسیقی می‌باشد. این شاخص با واحد دسیبل dB اندازه‌گیری می‌شود که با افزایش ۱۰ دسیبل صدا میزان صدا به میزان گوش شنونده دو برابر خواهد شد.

- |   |  |
|---|--|
| <p>Articulation Loss of Consonants (Alcones)</p> <p>Sound Pressure Level (SPL)</p> <p>Apparent Source Width (ASW)</p> <p>Transmission Mixed with Room Acoustic</p> <p>Reflector Coverage</p> <p>Frequency Response - پاسخ فرکانسی</p> | <ul style="list-style-type: none"> <li>• از بین رفتن حروف صدادار-</li> <li>• فشار صوتی -</li> <li>• پهنهای شنود منبع صدا -</li> <li>• ترکیب انتقال صدای بیرونی و درونی فضا -</li> <li>• درصد صدای بازتابی -</li> <li>• روند انجام پژوهش</li> </ul> <p>این پژوهش با طراحی فاز یک سالن ۱۰۰۰ نفره در نظر گرفته شده است و پارامترهای SPL, RT, STI, EDT و ALCONES مورد تحلیل قرار گرفته‌اند. دلیل انتخاب این ظرفیت‌صنایعی به این دلیل است که با توجه به مطالعات میدانی بیشتر سالن‌های موسیقی به خصوص در کشور ایران دارای میانگین ۱۰۰۰ صندلی می‌باشد. تحلیل‌های موردنظر توسعه نرم‌افزار Odeon وجود بیش از یک میلیون متریال یکی از علل قدرتمند بودن این نرم‌افزار می‌باشد. در هر متریال تمام مشخصات آکوستیکی آن مانند ضریب جذب، ضریب پراکنده‌گی، ضریب اسکر و دیگر مشخصات وجود داشته و با اعمال کردن متریال بر هر سطح موردنظر، کاربر امکان مشاهده تاثیر متریال بر آکوستیک فضای اخواهد داشت. یکی دیگر از ویژگی‌های این نرم‌افزار امکان اضافه کردن متریال جدید با مشخصات آکوستیکی موردنظر کاربر می‌باشد.</p> |
|---|--|

#### ترسیم دو بعدی سالن چند منظوره

طراحی اولیه این سالن به صورت دو بعدی توسط نرم‌افزار AutoCAD انجام شده است. این سالن به صورت دو طبقه طراحی شده است که طبقه دوم به صورت بالکن در سالن دیده می‌شود. تمامی مقررات ملی ساختمان در این طراحی در نظر گرفته شده که شامل راهروها، دربهای ورود و خروج، دربهای خروج اضطراری و سایر موارد می‌باشند. در

**شکل ۲** زیر، پلان طبقه اول سالن طراحی شده را مشاهده می‌کنید.

#### وروودی و خروجی نرم‌افزار

برای تمامی نرم‌افزارهای صوتی وارد کردن هندسه مکان و فضای از اهمیت زیادی برخوردار است. در این نرم‌افزار امکان وارد کردن هندسه از نرم‌افزارهایی مانند AutoCAD, Revit, Rhino وجود دارد. این قابلیت در فرمتهای مختلف فعال است. همچنین در این نرم‌افزار کاربر این امکان را دارد که پس از اعمال تغییراتی چون وارد بلندگو، تعیین متریال و دیگر تغییرات، خروجی سه بعدی برای نرم‌افزارهای مرتبط را بگیرد.

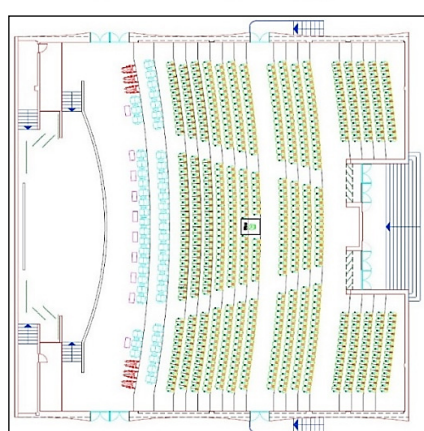
#### متريال

وجود بیش از یک میلیون متریال یکی از علل قدرتمند بودن این نرم‌افزار می‌باشد. در هر متریال تمام مشخصات آکوستیکی آن مانند ضریب جذب، ضریب پراکنده‌گی، ضریب اسکر و دیگر مشخصات وجود داشته و با اعمال کردن متریال بر هر سطح موردنظر، کاربر امکان مشاهده تاثیر متریال بر آکوستیک فضای اخواهد داشت. یکی دیگر از ویژگی‌های این نرم‌افزار امکان اضافه کردن متریال جدید با مشخصات آکوستیکی موردنظر کاربر می‌باشد.

#### سایر محاسبات آکوستیکی

پارامترهای آکوستیکی که توسط نرم‌افزار Odeon قابل محاسبه می‌باشد شامل:

- زمان واخشن - (RT)
- شاخص انتقال وضوح گفتار - Speech Transmission Index (STI)

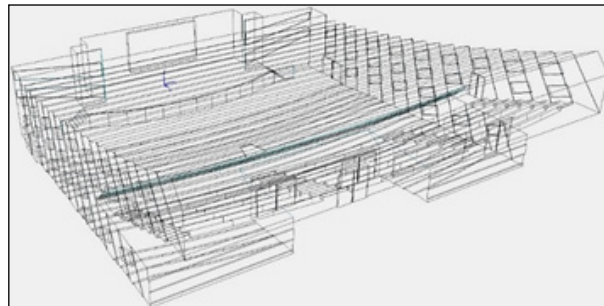


شکل ۲. نمای بالای پلان طبقه اول سالن

Figure 2. Top view of the first-floor plan of the hall

مدل صحیح سالن یکی از قسمت‌های مهم در آنالیز آکوستیک می‌باشد. به همین علت خود نرم‌افزار ODEON در این مرحله فضای داخلی سالن در قسمت Extrusion کرده و اگر مشکلی باشد از ادامه روند آنالیز جلوگیری خواهد کرد (شکل ۳).

ترسیم سه بعدی سالن در نرم‌افزار پس از طراحی‌های اولیه سالن، فضای داخلی سالن در قسمت Extrusion ترسیم شده و سپس در نرم‌افزار ODEON وارد می‌شود.

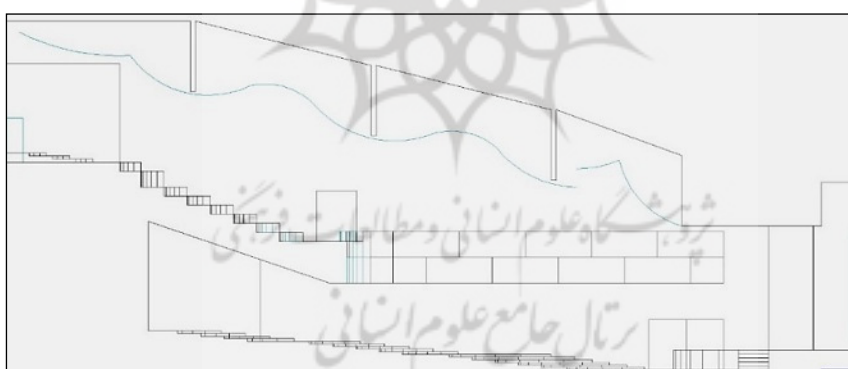


شکل ۳. طراحی سه بعدی سالن  
Figure 3. 3D design of the hall

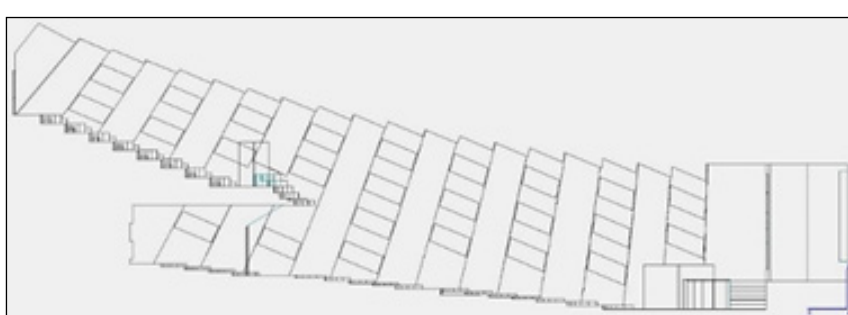
بالای چوب سالن‌های استاندارد از متریال چوب برای پوشش‌های دیوار و سقف در آنها استفاده شده است. به دلیل محدودیت در کارکرد با چوب به خصوص در پروژه‌های اجرایی از شکل‌های هندسی مشخصی استفاده می‌شود. به صورت کلی این شکل‌های هندسی یا به صورت قوس‌دار و یا به صورت چند ضلعی استاندارد می‌باشند. به همین امر از سقف قوس‌دار و سقف دارای شکست در این پژوهش استفاده شده است. در شکل ۴ و ۵ تفاوت دو طرح در نرم افزار را مشاهده می‌کنید.

#### طراحی متفاوت هندسه سقف

برای نشان دادن تاثیر هندسه سقف در پارامترهای آکوستیکی سالن، ۲ نوع سقف در این سالن طراحی شده است. یک طرح سقف سالن به صورت قوس‌هایی در طول سالن و یک طرح دیگر سقف به صورت باکس‌هایی با هندسه متفاوت بر روی سقف طراحی شده است. در بیشتر سالن‌های دنیا به خصوص در زمینه سالن‌های موسیقی، چوب بیشترین حجم استفاده در این فضاهای دارد. به دلیل خواص صوتی مناسب چوب و خاصیت طنبی.



شکل ۳. طراحی سه بعدی سالن  
Figure 3. 3D design of the hall



شکل ۳. طراحی سه بعدی سالن  
Figure 3. 3D design of the hall

مورد استفاده قرار می‌گیرد. در شکل ۶ نمونه جدول مشخصات آکوستیکی متريال موکت در نرمافزار ODEON را به عنوان نمونه مشاهده می‌کنید. با توجه به استفاده متريال‌های متفاوت در سالن، به تمامی سطوح، متريال موردنظر اعمال خواهد شد. به همین منظور سطوح و متريال‌ها در جدول ۲ تعریف شده است.

### اضافه کردن متريال

پس از طراحی دو سقف متفاوت، باید برای تمامی سطوح داخل سالن متريال انتخاب شود. متريال‌های مورد استفاده در سالن نقش مهمی در تعیین پارامترهای آکوستیکی دارند. هر متريال یک مشخصات فیزیکی-آکوستیکی دارد که اين مشخصات در نرمافزارهای تحلیل آکوستیکی

| Global material library (MATERIAL.LIB) |   |         |         |         |         |         |         |         |       |  |  |
|--|---|---------|---------|---------|---------|---------|---------|---------|-------|--|--|
| Number Specification                   |   |         |         |         |         |         |         |         |       |  |  |
| 6100                                   | (Example 6100-6199) Single microsorber - 0.1 mm perforated polyester cloth 30 mm from reflecting surface( <a href="http://www.microsorber.com/m">http://www.microsorber.com/m</a> ) |         |         |         |         |         |         |         |       |  |  |
| 6200                                   | (Example 6200-6299) Flex Acoustics, AqFlex portable fire retardant plastic tubes for large concert events total dept 700mm ( <a href="http://www.flex">http://www.flex</a> )        |         |         |         |         |         |         |         |       |  |  |
| 7000                                   | Needle felt 5mm stuck to concrete (Kristensen, 1984)  |         |         |         |         |         |         |         |       |  |  |
| 7001                                   | 6mm pile carpet bonded to closed-cell foam underlay (Parkin, Humphreys, & Cowell, 1979)   |         |         |         |         |         |         |         |       |  |  |
| 7002                                   | 6 mm pile carpet bonded to open-cell foam underlay (Parkin, Humphreys, & Cowell, 1979)  |         |         |         |         |         |         |         |       |  |  |
| 7003                                   | 9 mm tufted pile carpet on felt underlay (Parkin, Humphreys, & Cowell, 1979)  |         |         |         |         |         |         |         |       |  |  |
| 7004                                   | Carpet heavy, on concrete (Harris, 1991)  |         |         |         |         |         |         |         |       |  |  |
| 7005                                   | Carpet heavy, on harfek or foam rubber (Harris, 1991)   |         |         |         |         |         |         |         |       |  |  |
| 7006                                   | Carpet heavy, with impermeable latex backing on harfek or foam rubber (Harris, 1991)  |         |         |         |         |         |         |         |       |  |  |
| 7007                                   | 10 mm soft carpet on concrete (Ref. Dahlenbäck, CATT)   |         |         |         |         |         |         |         |       |  |  |
| 8005                                   | Cotton curtains (0.5 kg/m <sup>2</sup> ) draped to 3/4 area approx. 130 mm from wall (Petersen, 1983)   |         |         |         |         |         |         |         |       |  |  |
| 8006                                   | Curtains (0.2 kg/m <sup>2</sup> ) hung 90 mm from wall (Ingerslev & Petersen, 1952)   |         |         |         |         |         |         |         |       |  |  |
| 8007                                   | Curtains of close-woven glass mat hung 50 mm from wall (Kristensen, 1984)   |         |         |         |         |         |         |         |       |  |  |
| 8008                                   | Drapes, light velour, hung straight, in contact with wall (Harris, 1991)  |         |         |         |         |         |         |         |       |  |  |
| 8009                                   | Drapes, medium velour, draped to half area (Harris, 1991)   |         |         |         |         |         |         |         |       |  |  |
| 8010                                   | Drapes, heavy velour (Harris, 1991)   |         |         |         |         |         |         |         |       |  |  |
| Material Properties                    |   |         |         |         |         |         |         |         |       |  |  |
| 63 Hz                                  | 125 Hz  | 250 Hz  | 500 Hz  | 1000 Hz | 2000 Hz | 4000 Hz | 8000 Hz | a(w)    | Class |  |  |
| 0.08000                                | 0.08000   | 0.24000 | 0.57000 | 0.69000 | 0.71000 | 0.73000 | 0.73000 | 0.50(H) | D     |  |  |

شکل ۶. مشخصات موکت مورد استفاده در نرمافزار ODEON  
Figure 6. Carpet specifications used in ODEON software

جدول ۲. مشخصات متريال‌ها  
Table 2. Material specifications

| ردیف<br>متريال در سالن | جنس متريال           | استفاده شده<br>(مترمربع) | مساحت<br>محل استفاده | ضریب جذب در فرکانس‌های متفاوت |      |      |      |      |      |      |      |
|------------------------|----------------------|--------------------------|----------------------|-------------------------------|------|------|------|------|------|------|------|
|                        |                      |                          |                      | ۶۳                            | ۱۲۵  | ۲۵۰  | ۵۰۰  | ۱۰۰۰ | ۲۰۰۰ | ۴۰۰۰ | ۸۰۰۰ |
| ۱                      | سقف سالن             | ۱۷۶۰                     | کد ۱                 | ۰/۱۸                          | ۰/۱۸ | ۰/۱۲ | ۰/۱۰ | ۰/۰۹ | ۰/۰۸ | ۰/۰۷ | ۰/۰۷ |
| ۲                      | دیوارهای سن          | ۲۴۶                      | کد ۰۲                | ۰/۱۲                          | ۰/۳۶ | ۰/۶۱ | ۰/۷۹ | ۰/۸۸ | ۰/۸۳ | ۰/۸۲ | ۰/۸۲ |
| ۳                      | دیوارهای انتهای سالن | ۷۷۰                      | کد ۰۳                | ۰/۲۱                          | ۰/۳۲ | ۰/۷۲ | ۰/۸۵ | ۰/۹۴ | ۰/۸۴ | ۰/۸  | ۰/۸۳ |
| ۴                      | دیوارهای کناری سالن  | ۴۰۰                      | کد ۰۴                | ۰/۱۸                          | ۰/۱۸ | ۰/۱۲ | ۰/۱۰ | ۰/۰۹ | ۰/۰۸ | ۰/۰۷ | ۰/۰۷ |
| ۵                      | کف سالن              | ۱۶۹۷                     | کد ۰۵                | ۰/۰۸                          | ۰/۰۸ | ۰/۲۴ | ۰/۵۷ | ۰/۶۹ | ۰/۷۱ | ۰/۷۳ | ۰/۷۳ |
| ۶                      | درپهای سالن          | ۵۰                       | کد ۰۶                | ۰/۱۴                          | ۰/۱۴ | ۰/۱  | ۰/۰۶ | ۰/۰۸ | ۰/۱  | ۰/۱  | ۰/۱  |
| ۷                      | صندلی‌های سالن       | ۱۱۵۰                     | کد ۰۷                | ۰/۶۲                          | ۰/۶۲ | ۰/۷۲ | ۰/۸  | ۰/۸۸ | ۰/۸۴ | ۰/۸۵ | ۰/۸۵ |

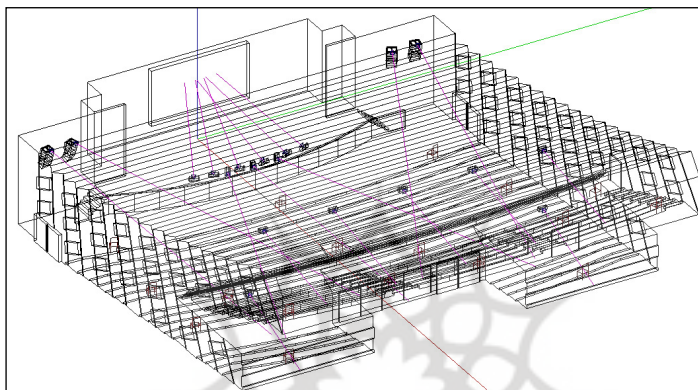
### متريال‌ها

- کد ۱: امدیاف ملامینه با ضخامت ۱۶ میلی‌متر، لایه هوایی به ضخامت ۲ سانتی‌متر و پشم سنگ با دانسیته ۸۰ کیلوگرم بر مترمکعب به ضخامت ۵ سانتی‌متر.
- کد ۵: کف سالن از جنس موکت به ضخامت ۹ میلی‌متر بر روی بتون مسلح.
- کد ۶: درپ نیمه آکوستیک تمام چوب از جنس نراد به ضخامت ۵ سانتی‌متر و وسط درپ پشم شیشه و چرم به صورت روکوب.
- کد ۷: صندلی‌های سالن با استاندارد سالن همايش از جنس آلومینیوم، فوم سرد تزریقی و کفی آکوستیک به صورت پانچ.
- کد ۱: امدیاف ملامینه با ضخامت ۱۶ میلی‌متر، لایه هوایی<sup>۱</sup> به ضخامت ۲ سانتی‌متر و پشم سنگ با دانسیته ۸۰ کیلوگرم بر مترمکعب به ضخامت ۵ سانتی‌متر.
- کد ۲: امدیاف ملامینه با ضخامت ۱۶ میلی‌متر به صورت پانچ ۶۰ درصد با متره ۸ میلی‌متر، لایه هوایی به ضخامت ۲ سانتی‌متر و پشم سنگ با دانسیته ۸۰ کیلوگرم بر مترمکعب به ضخامت ۵ سانتی‌متر.
- کد ۳: امدیاف ملامینه با ضخامت ۱۶ میلی‌متر به صورت پانچ ۶۰ درصد با متره ۱۰ میلی‌متر، لایه هوایی به ضخامت ۲ سانتی‌متر و پشم سنگ با دانسیته ۱۰۰ کیلوگرم بر مترمکعب به ضخامت ۵ سانتی‌متر.

فضاهای از دو روش استفاده می‌شود. روش اول روش پراکنده بود که میکروفون‌ها به صورت پراکنده در تمامی فضای سالن جانمایی می‌شوند. البته نباید فاصله هر میکروفون با میکروفون بعدی بیشتر از ۸ متر باشد. چیدمان بعدی چیدمان هدف دار بوده که برای آنالیز قسمت مشخصی از فضای مورد استفاده قرار می‌گیرد. در این چیدمان میکروفون به سمت مخالف پرتاب صدا گذاشته شده تا اندازه‌گیری مدت زمان واخنش به درستی حساب شود. در این پژوهش به علت قرینه بودن تمامی قسمت‌های دکوراتیو در سالن از چیدمان پراکنده میکروفون‌ها استفاده شده است.

### جانمایی بلندگوها و میکروفون‌ها

پس از نسبت دادن متریال‌های متفاوت در سطوح مختلف سالن، باید منبع صوتی و گیرنده صدا در سالن قرار گیرد. با توجه به حجم بالای این سالن باید از سیستم صوتی مخصوص استفاده کرد. در این سالن بلندگوهای Array در دو قسمت کناری سر در نظر گرفته شده است. ۱۴ عدد میکروفون نیز در قسمت‌های مختلف سالن قرار گرفته‌اند تا میانگین پارامترهای صوتی در سالن مشخص شود. محل قرارگیری بلندگوهای سالن و میکروفون‌های آن در شکل ۷ قبل مشاهده است. در چیدمان میکروفون‌ها در آنالیز آکوستیکی



شکل ۷ محل قرار گیری بلندگوهای سالن و میکروفون‌ها  
Figure 7. Location of hall speakers and microphones

حالات ندر قرار داده و پس از دقایقی نرم‌افزار تحلیل‌های مورد نیاز

پس از اضافه کردن منابع صوتی و گیرنده‌های صوتی، برنامه را در [جدول ۳](#) را به دست خواهد آورد.

### تجزیه و تحلیل نتایج

جدول ۳. تجزیه و تحلیل نتایج آکوستیکی  
Table 3. Analysis of acoustic results

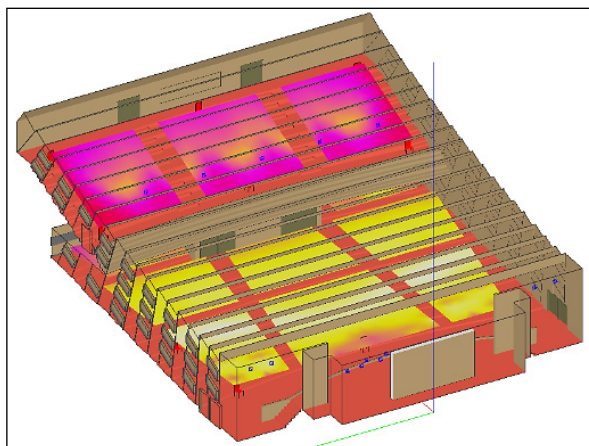
| میانگین | سقف شماره ۲<br>(طرح شکست) |         |         | سقف شماره ۱<br>(طرح قوس دار) |         |         | پارامتر آکوستیکی |
|---------|---------------------------|---------|---------|------------------------------|---------|---------|------------------|
|         | کمترین                    | میانگین | بیشترین | کمترین                       | میانگین | بیشترین |                  |
| ۱/۳     | ۰/۷                       | ۱/۹     | ۱/۶۵    | ۰/۸                          | ۲/۵۱    | RT      |                  |
| ۰/۸۴    | ۰/۶۹                      | ۰/۹۸    | ۰/۶۶    | ۰/۵۲                         | ۰/۸۱    | STI     |                  |
| ۱/۲     | ۰/۷                       | ۱/۷     | ۱/۱۵    | ۰/۸                          | ۱/۶     | EDT     |                  |
| ۱/۸۶٪   | ۱/۱٪                      | ۳/۹٪    | ۳/۱٪    | ۱/۹۱٪                        | ۴/۴٪    | ALCONES |                  |
| ۱۰۵/۷   | ۱۰۲                       | ۱۰۹/۵   | ۱۰۷/۵   | ۱۰۴                          | ۱۱۱     | SPL     |                  |

توزیع پارامترها در نرم افزار

در نرم افزارهای آکوستیک، قسمتی وجود دارد که محاسبات در این

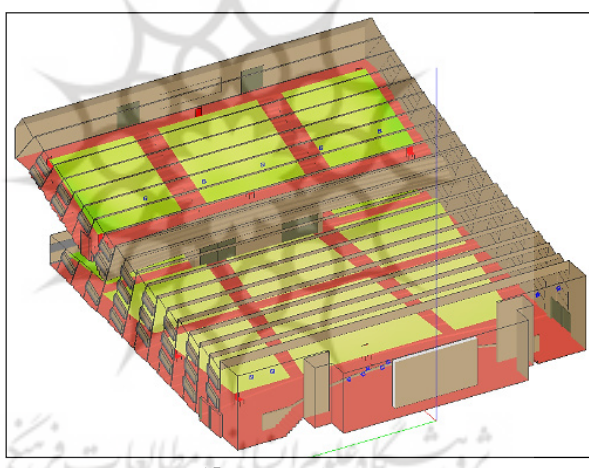
قسمت انجام می‌گیرد. قسمت حضار در شکل ۸ و ۹ زیر مشخص شده

است که پس از دندر در نرمافزار گرفته شده است.



## شکل ۸. پرائکنسی STI

Figure 8. STI distribution



## شکل ۹. پراکنش ALcones

Figure 9. Distribution of ALcones

تیکھی گیری

در پارامترهای ALcones EDT و نیز به همین ترتیب بوده و تمامی پارامترهای آکوستیکی در سقف دارای المان عماری با زاویه‌های بالا بهتر می‌باشد. البته لازم به ذکر است که پارامتر ALcones در آکوستیک رابطه مستقیم با مدت زمان واخنش صدا دارد.

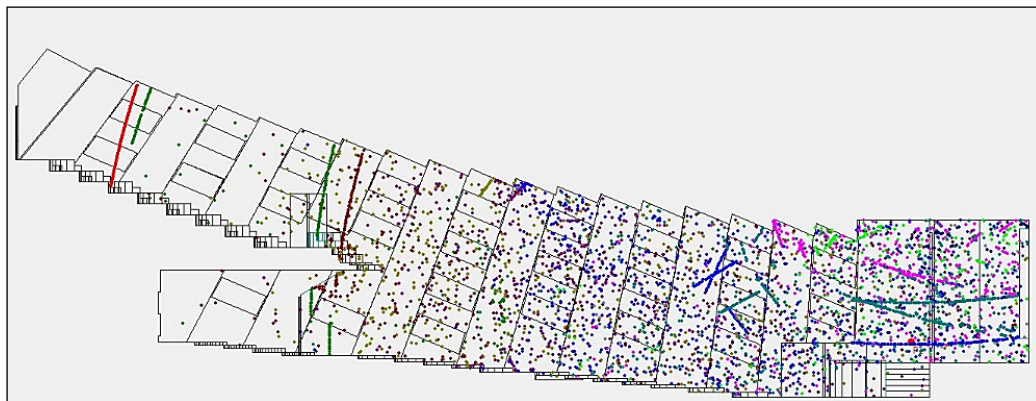
در پارامتر فشار صوتی یا SPL بلعکس بوده است. به این معنا که میانگین تراز صدا در سقف قوس‌دار بهتر از سقف دارای شکست بوده است. این امر در سالن‌های موسیقی که صدای بسیار بلند مورد نیاز می‌باشد مانند سالن‌های کنسرت راک هائز اهمیت می‌باشد.

پارامترهای آکوستیکی در سقف دارای المان معماری با زاویه‌های بالا بهتر می‌باشد. البته لازم به ذکر است که پارامتر ALcones در آکوستیک رابطه مستقیم با مدت زمان واخنش صدا دارد.

در پارامتر فشار صوتی یا SPL بلعکس بوده است. به این معنا که میانگین تراز صدا در سقف قوس دار بهتر از سقف دارای شکست بوده است. این امر در سالن‌های موسیقی که صدای بسیار بلند مورد نیاز می‌باشد مانند سالن‌های کنسرت راک هائز اهمیت می‌باشد.

همچنین با استفاده از قابلیت Ray Trace در نرم‌افزار Odeon می‌توان کنترل سرعت صدای خروجی از بلندگوهای داخل سالن را توسط المان‌های معماری سقف مشاهده نمود. در این فایل تصویری (شکل ۱۰) مشاهده می‌شود که حرکت فرکانس‌های صوتی در سالن به چه صورت می‌باشد.

با توجه به آنالیز نرم افزاری و اعداد خروجی نرم افزار مشاهده می شود که RT یا مدت زمان ماندگاری صدا در مرحله اول به نوع متریال و در مرحله دوم به نوع هندسه معماري داخلی بستگی دارد. مشاهده شده است که میانگین زمان واخنش در سالن با سقف قوس دار  $1/65$  می باشد در حالی که در سقف دارای شکست این عدد به  $1/3$  رسیده است. این مسئله در فرکانس های پایین (Base) بیشتر بوده که تاثیر بیشتر فرم هندسی در فرکانس های پایین صدایی را نشان می دهد. در پارامتر STI نیز که مربوط به وضوح صدا می باشد میانگین آن در سقف قوس دار  $0/66$  و در سقف دارای شکست  $0/84$  بوده است. به این معنا که با استفاده از فرم هندسی داخلی متناسب با پارامتر های آکوستیک می توان شاخص انتقال وضوح صدا در سالن را به مقدار قابل توجهی افزایش داد.



شکل ۱۰. تحلیل رفتار امواج صوتی توسط نرم‌افزار Odeon در سقف دارای شکست  
Figure 10. Analysis of sound wave behavior using Odeon software in a broken ceiling

با بررسی و نتایج و مطالعات و کمک در تجزیه و تحلیل داده‌ها و پیرايش محتوایی و ساختار مقاله در انجام پژوهش یاری نموده‌اند.

## ۲-تقدیر و تشکر

این پژوهش منتج از رساله دکتری با عنوان بهینه‌سازی قابلیت فهم صدا در فضاهای شنیداری در سالن‌های موسیقی و با حمایت دانشکده هنر و معماری دانشگاه آزاد اسلامی، واحد بین‌الملل قسم انجام گرفته است. از اساتید خود خانم دکتر فولادی و شهبازی کمال تشکر و قدردانی را دارم.

## ۳-تعارض و منافع نویسنده‌گان

نویسنده‌گان به طور کامل از اخلاق نشر تعیيت کرده و از هرگونه سرقت ادبی، سوء رفتار، جعل داده‌ها و یا ارسال و انتشار دوگانه، پرهیز نموده‌اند و منافعی تجاری در این راستا وجود ندارد و نویسنده‌گان در قبال ارائه اثر خود وجهی دریافت ننموده‌اند.

## ۴-فهرست مراجع

۱. رحمت آبادی، سید سجاد، چالیش، بهار، و رحمت آبادی، طاهره. (۱۳۹۲). موانست پارادایم‌ها در ساختار و آرایه‌های معماری نمونه موردی اتقان موسیقی عالی قاپو خانه شیخ صفی الدین. نشریه سیویلیکا.
۲. رضایی، محمد مهدی؛ و رهایی، امید. (۱۳۹۳). بررسی ضوابط آکوستیکی در طراحی جداره سالن‌های نمایش. نشریه سیویلیکا.
۳. سخنان، زهرا؛ نصرالهی، فرشاد؛ و غفاری، عباس. (۱۳۹۷). بهینه‌سازی عملکرد آکوستیکی جذب کننده‌های صوتی با تأکید بر تناسب و ارتفاع فضای هويت شهر، ۱۳(۳۷)۱۸-۵.
۴. غفاری، عباس. (۱۳۹۲). بهبود شرایط آکوستیک در مساجد با نگرش تحلیلی وضوح گفتار در مساجد دوره قاجار تبریز با رویکرد تاثیر آجر و ترئینات آجری بر زمان واخنش. پایان نامه دکتری، دانشکده معماری و شهرسازی، دانشگاه علم و صنعت ایران، تهران.

با استفاده از این روش می‌توان تاثیر کوچک‌ترین تغییرات هندسی را بر روی رفتار آکوستیکی سالن تشخصی داد. مشاهده شده است که در قوس‌دار صدا بسیار راحت‌تر به انتهای سالن انتقال پیدا می‌کند و به همین منظور زمان واخنش بیشتر می‌شود ولی در سقف دارای شکست انتقال صدا به انتهای سالن سخت‌تر بوده و به همین منظور زمان واخنش و دیگر پارامترهای آکوستیکی در شرایط بهتری قرار می‌گیرند. به همین منظور با استفاده از این نرم‌افزار می‌توانیم فرم هندسی مناسب با شرایط آکوستیکی را در سالن طراحی کنیم تا به یک سالن موسیقی با معماری زیبا و شرایط آکوستیکی مناسب و استاندارد برسیم. در مراحل تحقیق، طراحی و آنالیز به تاثیر زیاد نوع و نحوه اجرای کف سالن‌های موسیقی بر شرایط آکوستیکی رسیدیم. پیشنهاد می‌شود که در تحقیقاتی آینده در این زمینه مطالعه شود تا در تحقیقات معماری-آکوستیک در زمینه سالن‌های موسیقی کامل‌تر شده تا شاهد ساخت و بهره‌برداری مناسب از تمامی سالن‌ها باشیم.

## ۵-پی‌نوشت

1. Noise Level
2. Reverberation Time
3. Perugia
4. Sound Transmission Index
5. Articulation Loss of Consonants
6. Curve
7. Regular Breaks
8. Airgap

## ۶-نقش نویسنده‌گان

ادبیات موضوع، مطالعات، طراحی و تجزیه و تحلیل داده‌ها توسط سپیده مصطفائی انجام گرفته است. واحدانه فولادی و مهندیام شهبازی

16. Cairoli, M. (2020). Ancient shapes for modern architectural and acoustic design: Large interiors formed by curved surfaces. *Appl Acoustic*. 170:107497.
17. Cairoli, M. (2021). The architectural acoustic design for a multipurpose auditorium: Le Serre hall in the Villa Erba Convention Center. *Appl Acoustic*. 173:107695.
18. Chiles, S. (2004). Sound behavior in proportionate spaces and auditoria Ph.D. University of Bath.
19. D’Orazio, D., Fratoni, G., & Garai, M. (2017). Acoustics of a chamber music hall inside a former church by means of sound energy distribution. *Can Acoustic*, 45(4):7–17.
20. Fuchs, H., & Lamprecht, J. (2013). Covered broadband absorbers improving functional acoustic tics in communication rooms. *Applied Acoustics*, 74(1), 18-27.
21. Kissner, S., Barron, M., & Blau, M. (2010). Limits of intelligible speech in medium sized multi purpose spaces. *Fortschritte der Akustik – DAGA*. 951–2.
22. Marbjerg, G., Brunskog, J., & Jeong, C.H. (2018). The difficulties of simulating the acoustics of an empty rectangular room with an absorbing ceiling. *Applied Acoustics*, 141, 35–45.
23. Merli, F., & Bevilacqua, A. (2020). Using a church as a temporary auditorium. *Acoustical design of S. Domenico of Imola. J Physics: Conf Series*, 1655:012146.
24. Peisheng, Zhu., Wanqi, Tao., Fangshuo, Mo., Fei, Guo., Xiaodong, Lu., & Xidong, Liu. (2020). Experimental comparison of speech transmission index measurement in natural sound rooms and auditoria. *Appl acoustic*. 165:107326
5. فیضی، محسن؛ حسینی، سیدباقر؛ مجیدی، وحید؛ و احمدی، جواد. (۱۳۹۶). ارزیابی مولفه‌های موثر بر ارتقا کیفیت فضای معماری در کتابخانه‌های عمومی. *هویت شهر*, ۱۱(۴۳-۵۴)، ۱۱(۳۱).
6. قلیزاده، فرزانه؛ غفاری، عباس؛ و کینژاد، محمدعلی. (۱۴۰۰). واکاوی شرایط آکوستیکی مساجد تاریخی تبریز از منظر گونه‌بندی حجمی و فرمی، پایگاه مرکز اطلاعات علمی جهاد دانشگاهی، ۱۰(۲۰)، ۸۴-۱۰۵.
7. قیابکلو، زهرا. (۱۳۹۱). طراحی آکوستیک سالن همایش چند منظوره با الهام از پوسته صدف دریایی. *دانشکده‌گان هنرهای زیبا*.
8. قیابکلو، زهرا. (۱۳۹۳). مبانی فیزیک ساختمان (آکوستیک)، (ویرایش هشتم). انتشارات جهاد دانشگاهی.
9. میرزابالو، مريم؛ حسینی، بهشید؛ غفاری، عباس؛ و ایروانی، هوتن. (۱۴۰۲). ارتقاء حس مکان در کتابخانه مرکزی شهر تبریز با بررسی متغیرهای آکوستیک در معماری. *فصلنامه مطالعات فضا و مکان*, ۱۲(۱)، ۱۴-۵.
10. Barron, M. (2010). *Auditorium acoustics and architectural design*. 2nd ed. London: Spon Press.
11. Barron, M., & Kissner, S. (2021). A possible acoustic design approach for multi-purpose auditoria suitable for both speech and music. *Arch Acoustic*. 46:121–33.
12. Beranek, L. (2012). *Concert halls and opera houses: music, acoustics, and architecture*.
13. Berati, C., Belloni, E., Merli, F., Ambrosi, M., Shtrepel, L., & Astolfi, A. (2022). From Worship Space To Auditorium: “Acoustic Design And Experimental Analysis Of Sound Absorption Systems For The New Auditorium Of San Francesco Al Prato In Perugia (Italy)”; 45 :121-33.
14. Blaszcak, P., Berdowska, S., & Berdowski, J. (2021). Analysis of sound field distribution in architecturally diverse temple. *Arch Acoustic*, 46:121–33.
15. BiZeng, X., Christensen, C.L., & Rindel, J.H. (2006). Practical methods to define scattering coefficients in a room acoustics computer model. *Appl Acoust*, 67 (8):771\_86.

25. Reinten, J., Braat-Eggen, P.E., Hornikx, M., Kort, H.S.M., & Kohlrausch, A. (2017). The indoor sound environment and human task performance: A literature review on the role of room acoustics. *Build Environ.* 123:315–32.
26. Rossing, T. (2010). Springer Hand book of Acoustic.
27. Shtrepi, L. (2019). Investigation on the diffusive surface modeling detailing geometrical acoustics based simulations. *J Acoustic Soc Am*, 145(3):EL215–21.
28. Shtrepi, L., Astolfi, A., Puglisi, G.E., & Masoero, M.C. (2017). Effects of the distance from a diffusive surface on the objective and perceptual evaluation of the sound field in a small simulated variable-acoustics hall. *Appl Sci*, 7(3):224.



© 2024 by author(s); Published by Science and Research Branch Islamic Azad University, This work for open access publication is under the Creative Commons Attribution International License (CC BY 4.0). (<http://creativecommons.org/licenses/by/4.0/>)

